

# بررسی تاثیر عملیات سطحی اصطکاکی اغتشاشی بر رفتار خوردگی آلیاز Ti-6Al-4V در محلول رینگر

مسعود عطاپور

دانشکاه مهندسی مواد، دانشگاه صنعتی اصفهان

(دریافت مقاله: ۹۲/۰۹/۹۲ - پذیرش مقاله: ۹۲/۱۲/۲۴)

## چکیده

در این پژوهش به بررسی تاثیر عملیات سطحی اصطکاکی اغتشاشی بر رفتار خوردگی آلیاز Ti-6Al-4V پرداخته شده است. برای این منظور، آزمون‌های پتانسیل مدار باز، پتانسیوودینامیک و طیف‌سنجه امپدانس الکتروشیمیایی در محلول رینگر و دمای ۳۷°C انجام شد. نتایج آزمون‌های پلاریزاسیون نشان داد که آلیاز Ti-6Al-4V قبل و بعد از عملیات اصطکاکی اغتشاشی بصورت خودبخودی رویین شده و تا پتانسیل ۳ ولت (نسبت به الکترود کالومل اشباع) بدون حفره‌دار شدن باقی مانده است. با وجود این، فرآیند اصطکاکی اغتشاشی باعث افت مقاومت خوردگی آلیاز Ti-6Al-4V شده است. نتایج آزمون‌های امپدانس با استفاده از یک مدار معادل با تطبیق عالی شبیه‌سازی شد و اطلاعات لازم پیرامون خواص لایه رویین با استفاده از نرم افزار ZView استخراج شد. نتایج نشان داد که فیلم رویین تشکیل شده روی فلز پایه مقاومت پلاریزاسیون بالاتری (بیش از دو برابر) نسبت به نمونه عملیات شده دارد. همچنین بر اساس نتایج آزمون پتانسیوودینامیک، دانسیته جریان خوردگی پس از عملیات به دو برابر دانسیته جریان خوردگی فلز پایه افزایش یافت. تغییرات ریزاختراری و ناهمگنی ترکیب شیمیایی ناشی از عملیات اصطکاکی اغتشاشی عامل کاهش مقاومت خوردگی تشخیص داده شد.

**واژه‌های کلیدی:** خوردگی، عملیات سطحی اصطکاکی اغتشاشی، طیف‌سنجه امپدانس الکتروشیمیایی، آلیاز Ti-6Al-4V

## Effect of friction stir surface processing on the corrosion behavior of Ti-6Al-4V in Ringer's solution

M. Atapour

Department of Materials Engineering, Isfahan University of Technology

(Received 29 April 2013, accepted 15 March 2014)

### Abstract

In this study, the effect of friction stir surface processing on the corrosion behaviour of Ti-6Al-4V was investigated. The electrochemical corrosion properties were studied at 37°C in Ringer's solution using open circuit potential, potentiodynamic polarisation and electrochemical impedance spectroscopy techniques. The potentiodynamic tests showed that Ti-6Al-4V exhibited spontaneous passivity before and after processing and passivity breakdown was not observed at potentials as high as 3 V<sub>SCE</sub>. However, the results indicated that the friction stir processing deteriorated the corrosion resistance of Ti-6Al-4V. The results of the impedance experiments were simulated by an equivalent circuit and a good agreement was achieved between experimental and simulated results. The circuit element values were obtained by ZView software. The EIS analysis indicated that the passive film formed on the processed specimen exhibited lower polarization resistance when compared to the base metal (by more than 2 orders of magnitude). Furthermore, potentiodynamic polarization tests showed that the corrosion current density of friction stir processed sample increased by more than 2 orders of magnitude. The inferior corrosion resistance was attributed to the microstructure changes and alloying elements heterogeneity due to friction stir processing.

**Keywords:** Corrosion, Friction stir surface processing, Electrochemical Impedance spectroscopy, Ti-6Al-4V.

**E-mail of corresponding author:** m.atapour@ma.iut.ac.ir

## مقدمه

این، تیتانیوم و آلیاژهای آن بطور گستردۀ در کاربردهای مختلف اورتوبدی، کاشتنی دندانی، پروتز تعویض مفاصل و تجهیزات جراحی بکار می‌روند. خواص مکانیکی و شیمیایی مطلوب همراه با سازگاری زیستی خوب از جمله مهمترین ویژگی‌های آلیاژهای تیتانیوم است که آن‌ها را به عنوان یکی از جاذب‌ترین گزینه‌های مورد استفاده در کاربردهای مختلف بیومواد تبدیل کرده است<sup>[۷]</sup>.

تیتانیوم و آلیاژهای آن از مقاومت به خوردگی بسیار خوبی برخوردار هستند. علت اصلی این مشخصه، تشکیل یک لایه روین چسبنده، سخت، فشرده و مقاوم است. مطالعات اخیر نشان داده است که ریزساختار و موفرلوژی فازی از جمله عوامل مهم تاثیرگذار بر رفتار خوردگی آلیاز Ti-6Al-4V است<sup>[۸]</sup>. با توجه به استحاله فازی تبدیل فاز آلفا به فاز بتا و همچنین ایجاد ساختارهای پیچیده حین عملیات سطحی اصطکاکی اغتشاشی، به نظر می‌رسد بررسی مقاومت به خوردگی نمونه‌های عملیات سطحی شده اهمیت زیادی داشته باشد. با این وجود، تمرکز اصلی تحقیقات در این زمینه همچنان به مطالعه مشخصات ریزساختاری و خواص مکانیکی تمرکز داشته و مطالعات محدودی در زمینه تاثیر این فرآیند بر رفتار خوردگی آلیاز Ti-6Al-4V ارایه شده است. خوردگی این آلیاز می‌تواند منجر به آزاد شدن یون‌ها و حساسیت‌های مختلفی در بدن انسان شود. عطایپور و همکاران در سال ۲۰۱۰ برای اولین‌بار به ارزیابی‌های خوردگی آلیاز Ti-6Al-4V پس از عملیات اصطکاکی اغتشاشی پرداختند<sup>[۹]</sup>. بر اساس تحقیقات آن‌ها مشخص شد که در محیط خورنده اسید کلریدریک، رفتار خوردگی به شدت تحت تاثیر ریزساختارهای حاصل از عملیات اصطکاکی اغتشاشی قرار دارد. با توجه به کاربرد گستردۀ این آلیاز در بیومواد، آگاهی از تاثیر عملیات سطحی اصطکاکی اغتشاشی بر رفتار خوردگی آن در محیط شبیه‌سازی شده بدن انسان ضروری به نظر می‌رسد. بر این اساس در این پژوهش به بررسی رفتار

عملیات سطحی اصطکاکی اغتشاشی<sup>۱</sup> یکی از جدیدترین روش‌های اصلاح ریزساختار سطح فلزات است که امروزه توجه بسیاری از محققین و صنعتگران را به خود معطوف داشته است. این فرآیند نخستین بار با الگو گرفتن از عملیات جوشکاری اصطکاکی اغتشاشی توسط میشرا معرفی شد [۱۰] و در این فرآیند یک ابزار مصرف نشدنی در حال چرخش، متسلک از پین و شانه، به سطح نمونه وارد شده و باعث ایجاد تغییرات ریزساختاری قابل ملاحظه‌ای در سطح می‌گردد. منشا اصلی حرارت ایجاد شده در این فرآیند، اصطکاک بین ابزار و سطح نمونه است و با تغییر پارامترهای فرآیند (سرعت چرخشی ابزار، سرعت خطی ابزار و نیروی اعمالی) می‌توان حرارت ورودی به نمونه را تغییر داد. امروزه از این فرآیند برای اهدافی مانند ایجاد ساختارهای ریزدانه روی سطح فلزات (مثل آلیاز آلومینیوم [۱۰] و [۱۱])، ساخت کامپوزیت‌های سطحی [۱۲] و همگن‌سازی و رفع عیوب در ریزساختار سطحی نمونه‌های ریختگری و متالورژی پودر [۱۳] و [۱۴] استفاده می‌شود. تحقیقات اولیه نشان داده است که این فرآیند را می‌توان در مورد آلیاژهای آلومینیوم، منیزیم، فولادها و آلیاژهای تیتانیوم استفاده نمود. با توجه به مزایای قابل توجه این فرآیند از جمله سرعت و دقت بالا، سازگاری با محیط زیست و انعطاف‌پذیری زیاد به نظر می‌رسد که این فرآیند در آینده نقش کلیدی در مهندسی سطح داشته باشد.

آلیاز Ti-6Al-4V متدائل‌ترین آلیاز تیتانیوم است که به دلیل دارا بودن ترکیبی از خواص استحکام بالا، وزن کم و مقاومت به خوردگی بیش از ۵۰ درصد کاربردهای آلیاژهای تیتانیوم را به خود اختصاص داده است. علاوه بر این، این آلیاز دارای ساختار دوفازی آلفا + بتا است و قابلیت داشتن دامنه وسیعی از ریزساختارها آن را به آلیاز همه‌فن حریف صنایع تیتانیوم مبدل کرده است. علاوه بر

<sup>۱</sup> - Friction Stir Processing

پس از خشک کردن با دمش هوا تحت آزمون‌های الکتروشیمیایی قرار گرفت.

جدول ۱. ترکیب شیمیایی آلیاز Ti-6Al-4V مورد استفاده در این پژوهش (درصد وزنی).

عنصر	Al	V	Fe	C	N	O	H	Ti
ریختگی	۵/۹	۴/۱	۰/۲۳	۰/۰۶	۰/۰۸	۰/۱۹	۰/۰۷	بقیه

جدول ۲. پارامترهای فرایند سطحی اصطکاکی اغتشاشی استفاده شده در این پژوهش.

پارامترهای فرایند سطحی اصطکاکی اغتشاشی استفاده شده در این پژوهش.	ساعت	سرعت پیشروی ابزار (mm/min)	عمق فرورود ابزار (mm)	چرخش ابزار (rpm)	پارامترهای جوشکاری
	۱/۸	۱۰	۱۰۰		مقدار

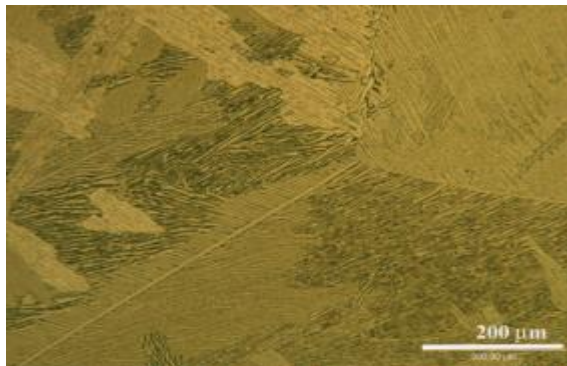
آزمون‌های پالریزاسیون بر اساس سیستم سه الکترودی و توسط دستگاه پتانسیواستات oltaLab مدل PGP-201 انجام شد. الکترود مرجع از نوع کالومل اشیاع و الکترود کمکی سیم پلاتین انتخاب شد. محدوده پتانسیل انتخابی ۲۵۰-۳۰۰۰ میلی ولت نسبت به پتانسیل مدار باز و با نرخ روبشی  $1\text{ mv/s}$  انتخاب شد و زمان لازم برای رسیدن به حالت تعادل قبل از آزمون پتانسیودینامیک ۱۲ ساعت در نظر گرفته شد. لازم به ذکر است که این آزمون‌ها حداقل سه بار تکرار شده است. با توجه به کاربردهای وسیع این آلیاز در صنایع بیومواد، از محلول (9 g/L NaCl, 0.42 g/L KCl, 0.48 g/L CaCl<sub>2</sub>, and 0.2 g/L NaHCO<sub>3</sub>) آزمون‌های الکتروشیمیایی انتخاب گردید و آزمون‌ها در شرایط هوایی و دمای ۳۷ درجه سانتی‌گراد (شیشه دمای بدن انسان) اجرا شد. آزمون طیف‌سنجدی الکتروشیمیایی با هدف ارزیابی رفتار لایه رویین نمونه‌ها پس از ۱۲ ساعت غوطه‌وری به اجرا درآمد. این آزمون میزان تهییج ۱۰ میلی ولت نسبت به پتانسیل مدار باز در محدوده فرکانس ۵ kHz تا ۱۰۰ kHz انجام گرفت. مدار معادل منطبق بر نتایج تجربی آزمون امپدانس الکتروشیمیایی با استفاده از

خوردگی آلیاز Ti-6Al-4V پس از عملیات سطحی اصطکاکی اغتشاشی پرداخته می‌شود.

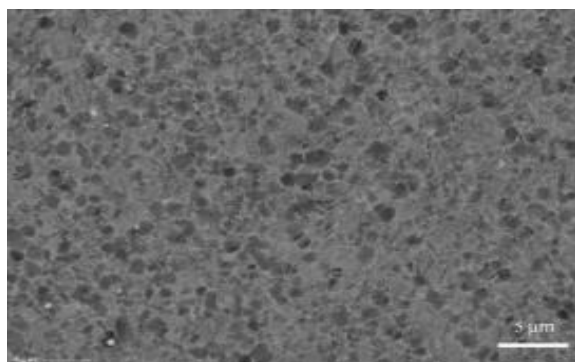
## مواد و روش تحقیق

در این پژوهش از یک نمونه ریختگی Ti-6Al-4V به ضخامت ۵ سانتی‌متر استفاده شد. ترکیب شیمیایی فلز پایه استفاده شده در جدول ۱ ارایه شده است. فرآیند سطحی اصطکاکی اغتشاشی با استفاده از یک ابزار از جنس تنگستن با زاویه انحراف ۱ درجه انجام شد. پارامترهای مورد استفاده برای اجرای این فرآیند در جدول ۲ آورده شده است. این پارامترها بر اساس آزمون‌های اولیه و مقدماتی انتخاب شده است. به دلیل حساسیت بالای تیتانیم نسبت به اکسیژن، نیتروژن و هیدروژن، فرآیند سطحی در حضور گاز آرگون انجام گرفت. به منظور ارزیابی‌های ریزساختاری، نمونه‌ها پس از برش تحت عملیات متالوگرافی استاندارد قرار گرفته و سطح کاملاً آینه‌ای حاصل شد. پس از شستشو و چربی‌زدایی، عملیات اچ با استفاده از محلول کرول (۱۰ میلی‌لیتر اسید هیدروفلوریک، ۵ میلی‌لیتر اسید نیتریک و ۸۵ میلی‌لیتر آب) صورت گرفت. ریزساختار نمونه‌ها با استفاده از میکروسکوپ الکترونی روبشی (SEM) و میکروسکوپ نوری مطالعه شد. میکروسکوپ الکترونی روبشی مورد استفاده مدل سرون، با فاصله کاری ۵ میلی‌متر، ولتاژ شتاب ۲۰ کیلوولت و اندازه نقطه ۵ بوده است. در این پژوهش مدار باز، پتانسیودینامیک و آزمون‌های پتانسیل مدار باز، پتانسیوگرافی شامل آزمون‌های امپدانس الکتروشیمیایی (EIS) مورد توجه قرار گرفت. قبل از اجرای آزمون‌های خوردگی، نمونه‌ها تحت عملیات سمباده‌زنی تر، تا سمباده شماره ۲۴۰۰ و پولیش با استفاده از ذرات آلومینا (۰/۰۵ میکرومتر) قرار گرفت. در ادامه این نمونه‌ها با استفاده از اتانول چربی‌زدایی شده و به مدت ۱۰ دقیقه در آب دوبار تقطیر و به روش اولتراسونیک شستشو شدند. نمونه‌های مذکور

است. جزئیات بیشتر ریزساختاری برای این نمونه در جایی دیگر منتشر شده است [۹].



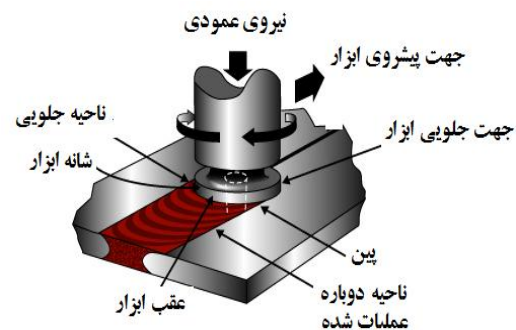
شکل ۲. تصویر متالوگرافی از ریزساختار فلز پایه.



شکل ۳. تصویر میکروسکوپی الکترونی از ریزساختار سطح نمونه پس از عملیات سطحی اصطکاکی اغتشاشی.

نمودارهای پتانسیل مدار باز (OCP) مربوط به فلز پایه و نمونه عملیات سطحی اصطکاکی اغتشاشی شده بصورت تابعی از زمان در محلول رینگر و دمای ۳۷ درجه سانتی‌گراد در شکل ۴ ارایه شده است. همان‌طور که مشاهده می‌گردد، پتانسیل برای هر دو نمونه یک روند افزایشی داشته که نشان‌دهنده تشکیل لایه رویین روی سطح آنها است. از طرف دیگر در یک ساعت اول روند رو به رشد پتانسیل سرعت بیشتری داشته و در ادامه با سرعت یکنواخت‌تری افزایش یافته است. بر این اساس به نظر می‌رسد در یک ساعت اولیه لایه رویین روی نمونه‌ها تشکیل شده و در ادامه این لایه تا ۱۲ ساعت پایدار مانده است. گزارشات مشابهی پیرامون روند صعودی تغییرات

نرم افزار ZView (ویرایش ۲/۱) بدست آمده و مورد مطالعه قرار گرفته است. لازم به ذکر است که در این پژوهش همه پتانسیل‌ها نسبت به الکترود مرجع کالومل اشباع سنجیده شده است. همچنین شماتیکی از عملیات اصطکاکی اغتشاشی همراه با نمونه مورد استفاده در شکل ۱ نشان داده شده است.



شکل ۱. شماتیک از عملیات اصطکاکی اغتشاشی.

## نتایج و بحث

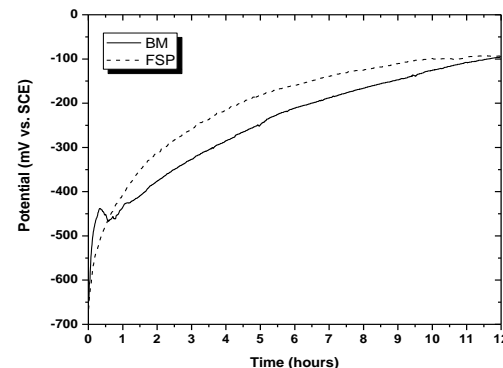
تصویر متالوگرافی نمونه فلز پایه مورد استفاده در این پژوهش در شکل ۲ ارایه شده است. ریزساختار این نمونه شامل دانه‌های بزرگ بتا است. داخل این دانه‌ها کولونی‌های لایه‌ای درشت آلفا است که فاز بتا بین لایه‌های آلفا قرار گرفته است. مرزهای دانه آلفا در شکل کاملاً مشخص هستند. نکته قابل توجه در مورد این ریزساختار حضور دانه‌های درشت بتا است که بر اساس مطالعات هیلرت<sup>۱</sup> در زمینه سیتیک رشد دانه‌های بتای آلیاز Ti-6Al-4V و با توجه به پایین بودن انرژی فعال‌سازی رشد دانه در این آلیاز قابل توجیه است [۱۰]. شکل ۳ تصویر میکروسکوپی الکترونی سطح نمونه پس از فرآیند سطحی اصطکاکی اغتشاشی را نشان می‌دهد. این ریزساختار شامل کسر حجمی بالایی از دانه‌های هم محور آلفا است (حدود ۹۰ درصد). بقیه ریزساختار شامل دانه‌های هم محور بتا یا بتای استحاله یافته است. اندازه متوسط ۱ دانه‌های آلفا و بتا حدود یک میکرومتر

<sup>۱</sup> - Hilert

شامل پتانسیل خوردگی ( $V_{corr}$ ) نسبت به الکترود مرجع کالومل اشباع، دانسیته جریان خوردگی ( $i_{corr}$ )، دانسیته جریان رویین ( $i_p$ )، شیب تافل کاتدی ( $\beta_c$ ) و شیب تافل آندی ( $\beta_a$ ) برای نمونه‌های فلز پایه و عملیات سطحی شده در جدول ۳ ارایه شده است. همان‌طور که مشاهده می‌گردد هر دو نمونه دارای دانسیته جریان خوردگی و دانسیته جریان رویین پایین به ترتیب از مرتبه  $-7^{th}$  و  $-6^{th}$  آمپر بر سانتی‌متر مربع هستند. بنابراین هر دو نمونه رفتار خوردگی بسیار خوبی را در محلول رینگر ارایه می‌دهند. همان‌طور که ملاحظه می‌گردد، هر دو نمونه دارای رفتار رویین شدن خودبخود بوده و تا پتانسیل‌های بالا، در حدود ۳ ولت (نسبت به الکترود کالومل اشباع) حالت رویین خود را حفظ کرده‌اند. ارزیابی سطح نمونه‌ها پس از آزمون‌های پتانسیودینامیک با استفاده از میکروسکوپ نوری نشان داد که هیچ‌گونه خوردگی حفره‌ای یا شیاری روی سطح نمونه‌ها ایجاد نشده است. این مقاومت به حفره‌دار شدن آلیازهای تیتانیوم در محیط‌های فیزیولوژیک ویژگی مهمی است که نقش اساسی در گسترش کاربردهای آنها در زمینه‌های بیومواد داشته است. مسئول اصلی این رفتار، تشکیل لایه محافظ، چسبنده و مقاوم اکسید تیتانیوم  $TiO_2$  روی سطح آنها می‌باشد [۱۴]. از طرف دیگر با توجه به نمودارهای پلاریزاسیون، نتیجه می‌شود که عملیات سطحی اصطکاکی اغتشاشی باعث افزایش سرعت خوردگی و بالا رفتن دانسیته جریان رویین ( $i_p$ ) شدن شده است.

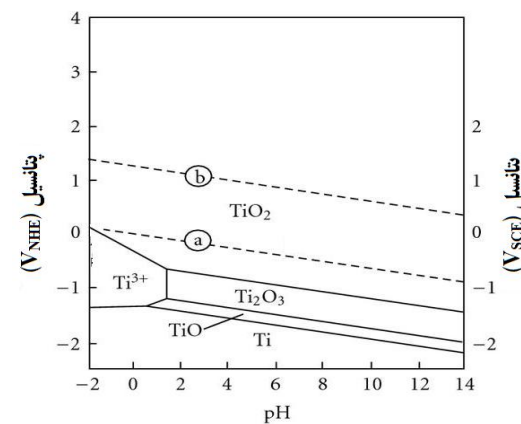
همان‌طور که آزمون‌های پتانسیل مدار باز و پلاریزاسیون پتانسیودینامیک نشان داد، نمونه‌های فلز پایه و عملیات سطحی شده در محلول رینگر بصورت خودبخود رویین شده‌اند. بر این اساس به منظور ارزیابی رفتار لایه رویین تشکیل شده روی نمونه‌ها از روش طیف‌سنجی امپدانس الکتروشیمیایی (EIS) استفاده شد.

پتانسیل در مورد آلیازهای تیتانیوم در محلول‌های مختلف فیزیولوژیک منتشر شده است [۱۱ و ۱۲].



شکل ۴. نمودارهای پتانسیل مدار باز (OCP) مربوط به فلز پایه (FSP) و نمونه عملیات سطحی اصطکاکی اغتشاشی شده (BM)

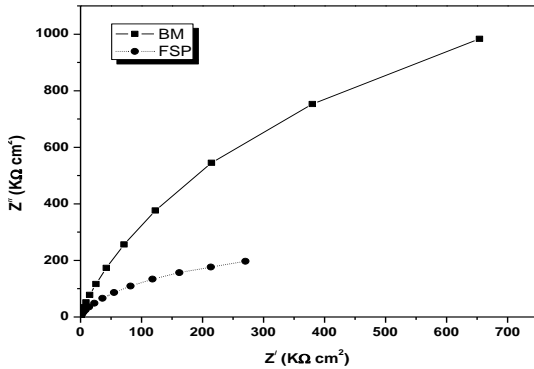
با توجه به نمودار پتانسیل- $pH$  سیستم  $Ti-H_2O$  در دمای ۳۷ درجه سانتی‌گراد (شکل ۵) [۱۳]، مشاهده می‌شود که پتانسیل نهایی هر دو نمونه پس از ۱۲ ساعت غوطه‌وری در محلول رینگر در ناحیه پایداری  $TiO_2$  قرار دارد. بنابراین لایه اکسیدی  $TiO_2$  بصورت خودبخود روی سطح نمونه‌ها تشکیل شده است.



شکل ۵. نمودار تعادلی پتانسیل- $pH$  برای سیستم تیتانیوم-آب در دمای ۳۷ درجه سانتی‌گراد [۱۳].

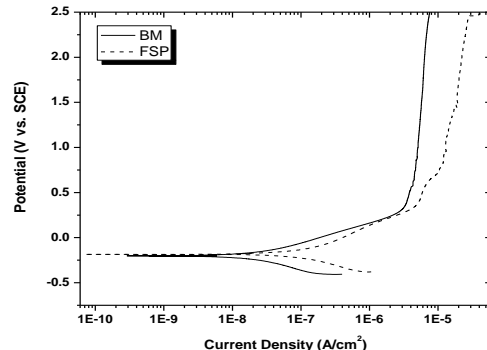
نتایج آزمون‌های پلاریزاسیون پتانسیودینامیکی پس از ۱۲ ساعت غوطه‌وری در شکل ۶ نشان داده شده است. اطلاعات خوردگی مربوط به نمونه‌های مورد بررسی با استفاده از روش تافل استخراج شده و نتایج بدست آمده

نمونه در مقایسه با فلز پایه است. با توجه به رابطه استرن-گری<sup>۱</sup> که نشان می‌دهد مقاومت پلاریزاسیون با سرعت خوردگی نسبت عکس دارد، نتیجه می‌شود که مقاومت خوردگی نمونه عملیات سطحی شده کاهش یافته است.



شکل ۷. منحنی‌های نایکوئیست فلز پایه (BM) و نمونه عملیات سطحی اصطکاکی اغتشاشی شده (FSP) در محلول رینگر و دمای ۳۷ درجه سانتی‌گراد

نمودارهای بد (Bode) در شکل ۸ نشان دهنده دو ناحیه کاملاً مجزا (دو ثابت زمانی) هستند. این نتایج در توافق با نتایج ارایه شده توسط اسریو<sup>۲</sup> [۱۵] و دیگر محققین [۱۶ و ۱۷] در مورد رفتار الکتروشیمیایی آلیاز-Ti-6Al-4V در محلول‌های فیزیولوژیک است. مقدارهای ثابت امپدانس  $|Z|$  با تغییر فرکانس در نواحی با زاویه فاز صفر درجه نشان دهنده غالب بودن مقاومت الکتروولیت در این نواحی فرکانسی است<sup>[۳]</sup>. علاوه بر این، زاویه فاز در فرکانس‌های پایین‌تر به آهستگی کاهش می‌یابد که نشان دهنده اثرگذار شدن مقاومت پلاریزاسیون بر امپدانس الکتروشیمیایی است<sup>[۱۸]</sup>. با درنظر گرفتن زاویه فاز ماکریزم ( $\theta_{\max}$ ) برای دو نمونه مورد بررسی، نتیجه می‌شود این مقدار برای هر دو نمونه بسیار نزدیک به هم است. نمودارهای بد  $|Z|$  دارای یک ناحیه خطی با شیب ۱- هستند که ناشی از وجود رفتار خازنی است.



شکل ۶. نمودارهای پلاریزاسیون پتانسیودینامیک مربوط به فلز پایه (BM) و نمونه عملیات سطحی اصطکاکی اغتشاشی شده (FSP) در محلول رینگر و دمای ۳۷ درجه سانتی‌گراد

جدول ۳. نتایج بدست آمده از نمودارهای پلاریزاسیون شامل پتانسیل خوردگی ( $V_{corr}$ )، دانسیته جریان خوردگی ( $i_{corr}$ ) و دانسیته جریان رویین ( $i_p$ ) شیب تافل کاتدی ( $\beta_a$ ) و شیب تافل آندی ( $\beta_c$ ) برای آلیاز Ti-6Al-4V قبل و بعد از عملیات سطحی اصطکاکی اغتشاشی (FSP) در محلول رینگر، در دمای ۳۷°C (انحراف معیار هر پارامتر برای سه آزمایش در پرانتز آورده شده است).

عملیات شده	فلز پایه	پارامتر
-۲۰۲ (۴۵)	-۱۹۳ (۱۵)	پتانسیل خوردگی (mV SCE)
۷۳/۴ (۳۱)	۳۰/۴ (۵/۵)	دانسیته جریان خوردگی ( $\mu\text{A}/\text{cm}^2$ )
۱۲/۸ (۳)	۵/۵ (۲)	دانسیته جریان رویین ( $\mu\text{A}/\text{cm}^2$ )
۲۹۷ (۳۵)	۲۸۹ (۶۹)	$\beta_a$ (mV/decade)
۱۸۶ (۵۳)	۲۵۴ (۶)	$\beta_c$ (mV/decade)

نتایج آزمون‌های طیف‌سنجی امپدانس الکتروشیمیایی اجرا شده در این پژوهش از طریق منحنی‌های نایکوئیست (Nyquist) و بد (Bode) به ترتیب در شکل‌های ۷ و ۸ ارایه شده است. این آزمون‌ها نیز پس از ۱۲ ساعت غوطه‌وری در محلول رینگر و دمای ۳۷ درجه سانتی‌گراد انجام شده‌اند. همان‌طور که مشاهده می‌گردد، نمودار نایکوئیست شکل ۷ نشان دهنده تفاوت قابل ملاحظه‌ای در رفتار لایه رویین دو نمونه فلز پایه و عملیات سطحی شده است. هر دو مقدار  $Z_{\text{Real}}$  و  $Z_{\text{Imaginary}}$  مربوط به نمونه عملیات سطحی شده کمتر از نمونه فلز پایه است که نشان دهنده پایین‌تر بودن مقاومت پلاریزاسیون این

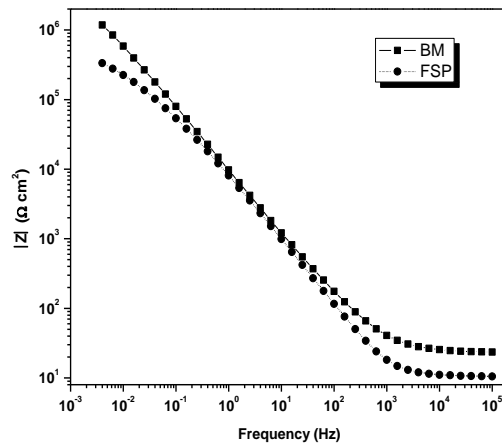
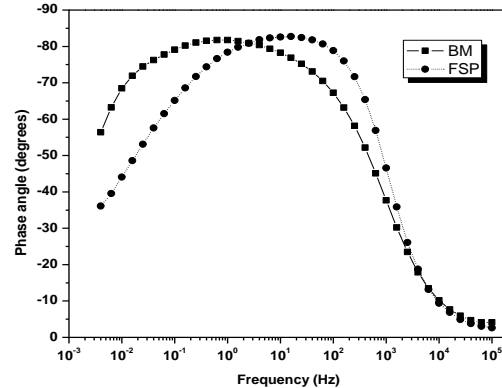
<sup>1</sup> - Stern-Garay

<sup>2</sup> - Osorio

مورد توجه قرار گرفت (شکل ۹). انطباق داده‌های تجربی با این مدل از طریق نرم‌افزار ZView مورد ارزیابی قرار گرفت. این مدل همچنین توسط دیگر محققین نیز در مورد آلیاژهای تیتانیوم در محلول‌های فیزیولوژیک استفاده شده و نتایج بسیار خوبی را دربر داشته است [۱۵ و ۱۶]. نتایج آزمایشگاهی و شبیه‌سازی شده با این مدار معادل در شکل ۹ نشان داده شده است. مبنای مهم این مدل این است که فیلم رویین تشکیل شده روی نمونه شامل دو لایه مانع داخلی<sup>۲</sup> و لایه متخلخل بیرونی<sup>۳</sup> است. گزارش شده است که لایه مانع داخلی بصورت کربستاله است در حالی که لایه متخلخل بیرونی آمورف است [۲۱]. در این مدار معادل  $R_{eq}$  نشان دهنده مقاومت الکتروولیت است و  $R_2$  و  $R_3$  به ترتیب مقاومت انتقال بار<sup>۴</sup> در مورد لایه‌های داخلی و خارجی را نشان می‌دهند. با توجه به اینکه در این نمونه‌ها رفتار خازنی ایده‌آل وجود ندارد، از عنصر فاز ثابت (CPE) استفاده می‌شود. امپدانس الکتروشیمیایی عنصر فاز ثابت بصورت زیر تعریف می‌گردد:

$$Z_{CPE} = [C(j\omega)]^{-n}$$

که در آن،  $Z_{CPE}$  امپدانس،  $J$  ریشه دوم  $-1$ ،  $n$  فرکانس،  $C$  ظرفیت خازنی و  $n$  مقداری است که به دلیل توزیع غیریکنواخت جریان ناشی از غیریکنواختی‌های سطحی و عیوب موجود در سطح بین  $1$  تا  $-1$  تغییر می‌کند [۱۵]. مقدار  $n$  برابر با  $1$  به معنای خازن ایده‌آل، مقدار برابر با صفر به معنای مقاومت ایده‌آل و مقدار  $-1$  به معنای القاگر خالص است [۱۸]. در مدار معادل مورد استفاده در شکل ۹ دو جزو CPE1 و CPE2 به ترتیب نشان دهنده عنصر فاز ثابت لایه داخلی و لایه خارجی است. پارامترهای مدار الکتریکی معادل مورد استفاده که از طریق نرم‌افزار استخراج شده در جدول ۴ ارایه شده است. در این جدول کمیتی بنام توان دوم چی<sup>۵</sup> ( $\chi^2$ ) ارایه شده که



شکل ۸ منحنی‌های بد فلز پایه (BM) و نمونه عملیات سطحی اصطکاکی انتشاری شده (FSP) در محلول رینگر و دمای ۳۷ درجه سانتی‌گراد.

از طرف دیگر با توجه به نمودار بد-فاز شکل ۷ الف، نمونه فلز پایه دامنه فرکانسی وسیع‌تری را در زاویه فازی ماکریم تجربه می‌کند که این نشان دهنده پایداری بیشتر فیلم رویین تشکیل شده روی فلز پایه نسبت به نمونه عملیات سطحی شده است [۱۹].

به منظور دستیابی به اطلاعات بیشتر از رفتار لایه رویین تشکیل شده روی سطح نمونه‌ها از مدل‌سازی داده‌های امپدانس الکتروشیمیایی و انطباق آن با یک مدار معادل بهره گرفته شده است. برای این منظور مدار مدل معروفی که اولین بار توسط پان<sup>۱</sup> و همکارانش [۲۰] ارایه شده

<sup>2</sup> barrier like inner layer

<sup>3</sup> porous outer layer

<sup>4</sup> - Charge Transfer Resistance

<sup>5</sup> - chi-squared

<sup>1</sup> - Pan

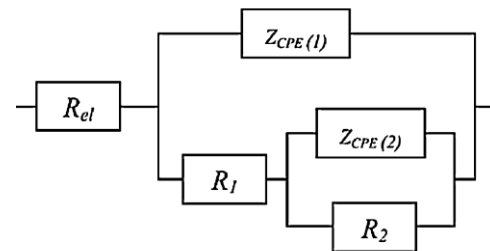
و بتا است. در این آلیاز عنصر آلمینیوم پایدارکننده فاز آلفا و عنصر وانادیوم پایدارکننده فاز بتا است. مطالعات صورت گرفته توسط عطایپور و همکارانش [۸] نشان داده است که فاز بتا دارای مقاومت خوردگی پایین‌تری نسبت به فاز آلفا است. حضور وانادیوم در فاز بتا و انحلال راحت‌تر این عنصر در محلول‌های آبی عامل اصلی افت مقاومت خوردگی فاز بتای آلیاز Ti-6Al-4V معرفی شده است [۸].

در نمونه‌ای که تحت عملیات سطحی اصطکاکی-اغتشاشی قرار گرفته، فازهای آلفا و بتا دارای شرایط کاملاً غیر تعادلی هستند. از طرف دیگر توزیع وانادیوم در فازهای آلفا و بتا و نبودن زمان کافی برای نفوذ وانادیوم به فاز بتا باعث افت مقاومت خوردگی شده است. در این شرایط وانادیوم در لایه رویین تشکیل شده روی فازهای آلفا و بتا بصورت جزایر کوچکی وارد شده و باعث بدتر شدن رویین شدن نمونه می‌گردد. بر اساس مطالعات کودارو و همکارانش [۲۳] فصل مشترک آلفا/بتا به عنوان مناطق مستعد به خوردگی عمل می‌کنند. با این ملاحظات، افزایش فصل مشترک‌های آلفا/بتا در نمونه اصطکاکی اغتشاشی شده نیز عامل دیگری است که باعث افت مقاومت خوردگی این نمونه شده است.

جدول ۴. پارامترهای بدست آمده بر اساس مدل‌سازی لایه رویین تشکیل شده روری سطح نمونه فلز پایه و نمونه عملیات سطحی شده. ( $R_s$ ) مقاومت محلول، ( $R_p$ ) مقاومت پلاریزاسیون، ZCPE بخش خازنی با فاز ثابت.

Parameters	BM	FSP
$R_{el}$ ( $\Omega\text{cm}^2$ )	۲۷/۲ (۴/۳)	۱۱/۵ (۰/۷)
$Z_{CPE(1)}$ ( $\mu\text{Fcm}^{-2}$ )	۵/۹ (۰/۳)	۲۱ (۰/۷)
$Z_{CPE(2)}$ ( $\mu\text{Fcm}^{-2}$ )	۶/۲ (۴/۷)	۲۸۱ (۸۲)
$n_1$	۰/۸۹۱	۰/۹۲۷
$n_2$	۰/۹۴۰	۰/۴۸۹
$R_1$ ( $\Omega\text{cm}^2$ ) (porous)	۱۸۴ (۶۰)	۵۰۰۰۰ (۳۰۰۰)
$R_2$ ( $\times 10^6 \Omega\text{cm}^2$ ) (barrier)	۱/۷ (۱/۴)	۰/۵۷ (۰/۳)
$\chi^2 (\times 10^{-4})$	۲۳	۸/۷

کیفیت انطباق نتایج آزمایشگاهی و مدل‌سازی را نشان می‌دهد. اگر مقدار این کمیت بین  $10^{-4}$ - $10^{-3}$  باشد، به معنای انطباق عالی نتایج آزمایشگاهی و نتایج مدل‌سازی است و نشان می‌دهد که مدار معادل مورد بررسی توانسته است به خوبی رفتار الکتروشیمیایی سطح نمونه را شبیه‌سازی کند [۲۲].



شکل ۹. مدار معادل استفاده شده در این پژوهش.

با توجه به نتایج حاصل از انطباق مدار معادل که در جدول ۴ ارایه شده، لایه مانع داخلی نمونه پس از عملیات سطحی ناهمگن‌تر است ( $n_2 < n_1$ ). از طرف دیگر به دلیل بالاتر بودن مقدار  $Z_{CPE(2)}$  برای نمونه عملیات سطحی شده ( $Z_{CPE(2)} = 281$ )، نتیجه می‌شود که ضخامت لایه مانع در این نمونه کمتر است. با توجه به اینکه لایه مانع داخلی نقش اصلی را در ایجاد مقاومت به خوردگی ایفا می‌کند، پس می‌توان استنباط کرد که عملیات سطحی اصطکاکی اغتشاشی باعث افت مقاومت به خوردگی آلیاز Ti-6Al-4V در محلول رینگر شده است.

با توجه به نمودارهای پتانسیو دینامیک شکل ۵ و جدول ۳ مشاهده می‌شود که آلیاز Ti-6Al-4V پس از اعمال فرآیند سطحی اصطکاکی-اغتشاشی دارای مقاومت خوردگی پایین‌تری نسبت به فلز پایه عملیات نشده است. این تفاوت رفتاری را می‌توان بر اساس حضور عناصر آلیاز مختلف مورد بحث قرار داد. عناصر آلیازی با ورود به لایه رویین تشکیل شده روی آلیازهای تیتانیوم مشخصات آن را به شدت تحت تاثیر قرار می‌دهند [۱۴]. آلیاز Ti-6Al-4V یک آلیاز دوفازی شامل فازهای آلفا

## سپاسگزاری

نویسنده این مقاله بر خود لازم می‌داند از زحمات پروفسور فرانکل ریس مرکز خوردگی فونتانا در دانشگاه ایالتی اوهایوی آمریکا که زمینه انجام این پژوهش را فراهم نموده است قدردانی کند. همچنین از زحمات پروفسور ویلیامز و دکتر پیلچاک به علت راهنمایی‌ها و تأمین مواد لازم قدردانی می‌گردد.

## منابع

1. R. Mishra, M. Mahoney, S. McFadden, N. Mara and A. Mukherjee, *High strain rate superplasticity in a friction stir processed 7075 Al alloy*, Scripta Materialia, 42(1999)163-168.
2. R. Mishra and M. Mahoney, *Friction stir processing: A new grain refinement technique to achieve high strain rate superplasticity in commercial alloys*, Materials Science Forum, 507(2001)357-359.
3. Z. Ma, R. Mishra and M. Mahoney, *Superplastic deformation behaviour of friction stir processed 7075Al alloy*, Acta Materialia, 50(2002)419-4430.
4. R. Mishra, Z. Ma and I. Charit, *Friction stir processing: a novel technique for fabrication of surface composite*, Materials Science and Engineering: A, 341(2003)307-310.
5. A. Pilchak, M. Juhas, and J. Williams, *Microstructural changes due to friction stir processing of investment-cast Ti-6Al-4V*, Metallurgical and Materials Transactions A, 38(2007)401-408.
6. P. Berbon, W. Bingel, R. Mishra, C. Bampton and M. Mahoney, *Friction stir processing: a tool to homogenize nanocomposite aluminum alloys*, Scripta Materialia, 44(2001)61-66.
7. M. Long and H. J. Rack, *Titanium alloys in total joint replacement - a materials science perspective*, Biomaterials, 19(1998)1621-1639.
8. M. Atapour, A. Pilchak, G. Frankel, J. Williams, M,H Fathi, and M, Shamanian, *Corrosion Behavior of Ti-6Al-4V with Different Thermomechanical Treatments and Microstructures*, Corrosion, 66 (2010) 065004-065009.

## نتیجه‌گیری

در این پژوهش به بررسی رفتار خوردگی آلیاز Ti-6Al-4V قبل و بعد از عملیات سطحی اصطکاکی اغتشاشی پرداخته شده است. آزمون‌های خوردگی شامل آزمون پتانسیل مدار باز، پلاریزاسیون پتانسیویدینامیک و طیف‌سنجی امپدانس الکتروشیمیایی در محلول رینگر و دمای  $37^{\circ}\text{C}$  انجام شد. نتایج زیر از این پژوهش بدست آمده است:

- ۱- آلیاز Ti-6Al-4V قبل و بعد از عملیات سطحی اصطکاکی اغتشاشی دارای رفتار روین شدن خودبخود بوده و تا پتانسیل‌های بالا، در حدود ۳ ولت حالت روین خود را حفظ کرده‌اند. همچنین هر دو نمونه فلز پایه و نمونه عملیات شده دارای دانسیته جریان خوردگی و دانسیته جریان روین پایین به ترتیب از مرتبه  $7^{\circ}$  و  $6^{\circ}$  آمپر بر سانتی‌متر مربع بوده‌اند.
- ۲- بر اساس نتایج آزمون‌های پلاریزاسیون و امپدانس الکتروشیمیایی، عملیات سطحی اصطکاکی اغتشاشی باعث افت مقاومت خوردگی و افزایش دانسیته جریان روین شدن برای آلیاز Ti-6Al-4V شده است.
- ۳- آزمون طیف‌سنجی امپدانس الکتروشیمیایی نشان داد که فیلم روین تشکیل شده روی سطح نمونه‌ها شامل دو لایه مانع داخلی و لایه متخلخل خارجی است. مدل معروف پان اطباق عالی از رفتار الکتروشیمیایی نمونه‌ها در محلول رینگر نشان داد.
- ۴- بر اساس نمودارهای نایکوئیست، مقاومت پلاریزاسیون نمونه پس از عملیات سطحی اصطکاکی اغتشاشی کاهش یافت. همچنین، با توجه به نمودارهای بد، نمونه فلز پایه دامنه فرکانسی وسیع‌تری را در زاویه فازی ماکزیمم تجربه کرده است که حاکی از پایداری بیشتر فیلم روین تشکیل شده روی فلز پایه نسبت به نمونه عملیات سطحی شده بوده است.

9. M. Atapour, A. Pilchak, G. Frankel and J. Williams, *Corrosion behaviour of investment cast and friction stir processed Ti-6Al-4V*, Corrosion Science, 52(2010)3062-3069.
10. F. Gil, M. Ginebra, J. Manero and J. Planell, *Formation of  $\alpha$ - Widmanstatten structure : effect of grain size and cooling rate on the Widmanstatten morphologies and on the mechanical properties in Ti-6Al-4V alloy*, Journal of Alloys and Compounds, 329 (2001)142-152.
11. I. Cvijović-Alagić, Z. Cvijović, S. Mitrović, V. Panić and M. Rakin, *Wear and corrosion behaviour of Ti-13Nb-13Zr and Ti-6Al-4V alloys in simulated physiological solution*, Corrosion Science, 53(2011)796-808.
12. N. Oliveira and A. Guastaldi, *Electrochemical stability and corrosion resistance of Ti-Mo alloys for biomedical applications*, Acta Biomaterialia, 5 (2009) 399-405.
13. K. D. Silverman, *Derivation and application of EMF-pH diagrams*, NACE, Houston, TX, 1986, 117.
14. S. Yu and J. Scully, *Corrosion and passivity of Ti-13% Nb-13% Zr in comparison to other biomedical implant alloys*, Corrosion, 53(1997)965-976.
15. W. Osório, A. Cremasco, P. Andrade, A. Garcia, and R. Caram, *Electrochemical behavior of centrifuged cast and heat treated Ti-Cu alloys for medical applications*, Electrochimica Acta, 55(2010)759-770.
16. T. Silva, J. Rito, A. Simoes, M. Ferreira, M. Belo, and K. Watkins, *Electrochemical characterisation of oxide films formed on Ti-6Al-4V alloy implanted with Ir for bioengineering applications*, Electrochimica Acta, 43(1998)203-211.
17. J. Gonzalez and J. Mirza-Rosca, *Study of the corrosion behavior of titanium and some of its alloys for biomedical and dental implant applications*, Journal of Electroanalytical Chemistry, 471(1999)109-115.
18. A. Shukla and R. Balasubramaniam, *Effect of surface treatment on electrochemical behavior of CPTi, Ti-6Al-4V and Ti-13Nb-13Zr alloys in simulated human body fluid*, Corrosion Science, 48(2006)1696-1720.
19. R. Kelly, J. Scully, D. Shoesmith, and R. Buchheit, *Electrochemical Techniques in Corrosion Science and Engineering*, Marcel Dekker, Inc(2003).
20. J. Pan, D. Thierry, and C. Leygraf, *Electrochemical impedance spectroscopy study of the passive oxide film on titanium for implant application*, Electrochimica Acta, 41(1996)1143-1153.
21. I. Demetrescu, B. Popescu, and D. Ionita, *The stability of TiAlV alloy in simulated bioliquids*, Molecular Crystals and Liquid Crystals, 448(2006)103-113.
22. S. Assis, S. Wolynec, and I. Costa, *Corrosion characterization of titanium alloys by electrochemical techniques*, Electrochimica Acta, 51(2006)1815–1819.
23. E. Codaro, R. Nakazato, A. Horovistiz, L. Ribeiro, R. Ribeiro, L. Hein, *An image analysis study of pit formation on Ti-6Al-4V*, Materials Science and Engineering A, 341(2003) 202-210.